

φ

## TEMA 3 - TEORIA DE EKMAN

A Importância do Atrito

A camada de Ekman de superfície

3.3. A camada de Ekman de fundo

3.4. A camada de Ekman em Escamentos Geofísicos Reais

## Lista de Slides

1. Escalas básicas p/ meso-escala

2. A camada de Ekman de superfície - unânio

3. " " " - a espiral

4. " " " - transporte

5. Bombeamento de Ekman - superfície (a fazer)

6. A camada de Ekman de Fundo - unânio

7. " " " - perfis

8. " " " - bombeamento

9. Teoria de Ekman vs. Observações - Huokins (1966)

Modelo de Madsen

### 3.1. A Importância do Atito

• Em aulas passadas, vimos que o balanço dominante em meso e grande escalas no oceano é o geostrofico

• Este movimento é dado por:

$$-f v = -\frac{1}{\rho} \frac{\partial p}{\partial x} + O(R_o, E_H, E_v) \quad (1)$$

$$f u = -\frac{1}{\rho} \frac{\partial p}{\partial y} + O(R_o, E_H, E_v) \quad (2)$$

SLIDE: Escalas Básicas de Meso-escala

• Para essas escalas,

$$E_v = \frac{A_v \frac{\partial^2 u}{\partial z^2}}{f v} = \frac{A_v}{H^2 f} = 10^{-4}.$$

• O pequeno tamanho do n° de Ekman vertical indica que o atito vertical desempenha um papel pouco importante em processos com escala vertical da  $O(10^3 \text{m})$ .

• Ou seja, do ponto de vista físico, o fluido é não viscoso

• Do ponto de vista matemático, despreza-se as derivadas de ordem mais alta na eq. do movimento. Isto significa que há limite.

(2)

(atrito) na aplicação de condições de contorno. Direção escorregamento é requerido quando atrito não é considerado.

Ludwig Prandtl formulou a teoria das camadas-limite e estabeleceu dois comportamentos distintos para os sistemas de escoamento. No caso dos escoamentos geofísicos, refere-se para:

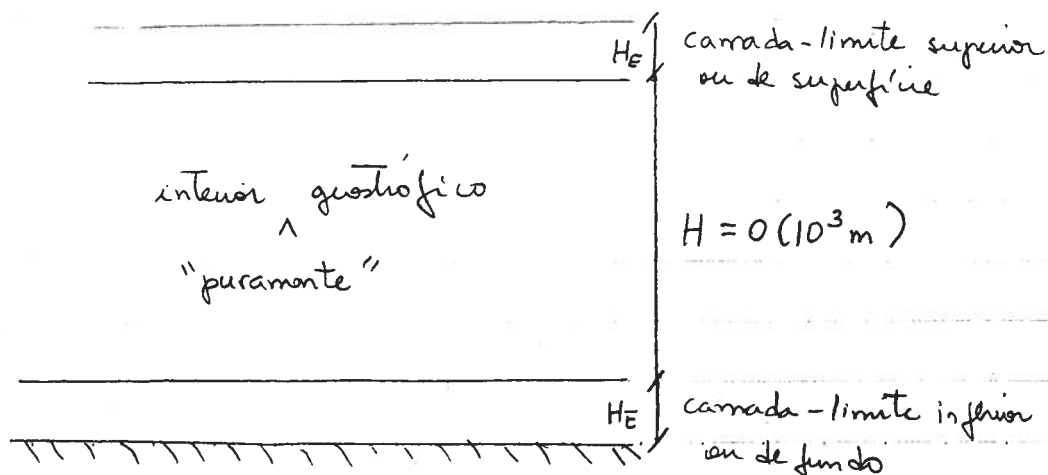
- Regime interno - longedades internas físicas do domínio, onde viscosidade pode ser desprezada
- camada-limite - próxima aos contornos, onde o atrito tem de trazer a viscosidade do escoamento à zero junto ao contorno (condição de não-eskorregamento).

Assim, para que os termos de atrito vertical sejam relevantes no escoamento oceânico, é necessário que

$$E_v = O(1) \Rightarrow H_E = O\left(\sqrt{\frac{A_v}{|f|}}\right)$$

- Pelas nossas escalas,  $H_E = \sqrt{\frac{10^{-2}}{10^{-4}}} \text{ m} = O(10 \text{ m})$ .

Ou seja, o atrito é importante apenas nas primeiras dezenas de metros do fundo e da superfície do oceano.



(3)

• Esta mera análise de escalas já nos provê um resultado característico das camadas limite em fluidos geofísicos.

→ camadas-limite em fluidos ~~sem~~ rotação ambiente não apresentam "prescrição" de espessura e crescem na direção do escoamento e/ou com o tempo. [note que se fizermos os efeitos de rotação desaparecerem ( $f \rightarrow 0$ ),  $H_E \rightarrow \infty$ ]

→ camadas-limite em fluidos ~~com~~ rotação ambiente apresentam espessura prescrita:  $H_E = \sqrt{\frac{A_V}{|f|}}$  ..

• Assim, se reescrevermos as Eqs. (1) e (2) para este novo "H", temos:

$$-f v = -\frac{1}{\rho} \frac{\partial p}{\partial x} + A_V \frac{\partial^2 u}{\partial z^2} \quad (3)$$

$$f u = -\frac{1}{\rho} \frac{\partial p}{\partial y} + A_V \frac{\partial^2 v}{\partial z^2} \quad (4)$$

• O sistema (3)-(4) é linear e nos permite escrever:

$$u = \bar{u} + u_E \quad (5)$$

$$v = \bar{v} + v_E$$

• As correntes devido ao atrito, então são governadas por

(4)

$$-f v_E = A_V \frac{\partial^2 u_E}{\partial z^2} = \frac{1}{\rho} \frac{\partial \tau^{(x)}}{\partial z} \quad (6)$$

$$f u_E = A_V \frac{\partial^2 v_E}{\partial z^2} = \frac{1}{\rho} \frac{\partial \tau^{(y)}}{\partial z} \quad (7)$$

### 3.2. A Camada de Ekman de Superfície

• Exploremos agora (6)-(7) e sua solução estabelecendo o problema formulado por Vagn Valfrid Ekman em 1902 (publicado em 1905).

• A motivação nasceu das observações de Fridtjof Nansen, oceanógrafo norueguês, que notou durante seus cruzeiros ao Ártico que os "icebergs" desviavam não na direção do vento, mas sim, a um certo ângulo à direita do vento.

• Ekman, ainda um aluno de Vilhelm Bjerknes - pai da moderna meteorologia, formulou a teoria de camada-limite sob regime de rotacão ambiente que hoje leva seu nome.

• Publicado em (1905), Ekman estendeu e notou a importância de sua teoria para a atmosfera num artigo em 1906.

• Sigamos os passos de Ekman, solucionando seu problema de uma forma apenas mais generalizada.

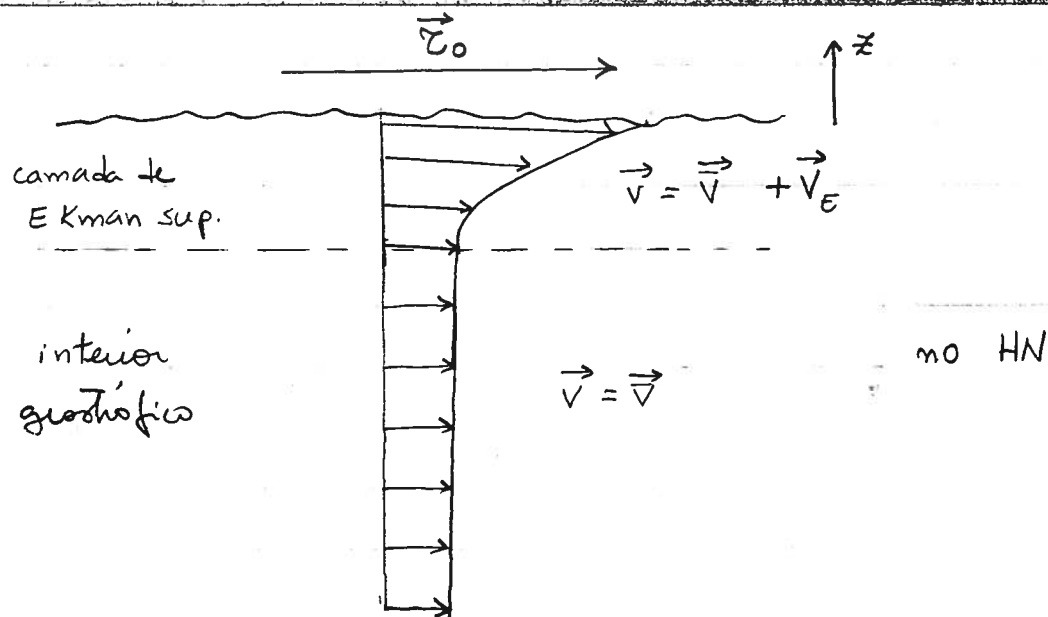
• Para tanto, consideremos um oceano de densidade homogênea no plano  $xy$  sobre o qual sopra um vento estacionariamente que impõe sobre a superfície do oceano, uma TCV.

(5)

dada por:  $\vec{\tau}_0 = \tau_0^{(x)} \vec{i} + \tau_0^{(y)} \vec{j}$  (8)

- O sistema de equações a ser resolvido é (6)-(7) e o cenário dinâmico é:

SLIDE: Figura 5-4 do Cushman - Roisin. (1996)



- A resolução de (6)-(7) requer condições de contorno, que pela imposição do problema são:

$$\tau_0^{(x)} = \rho A_V \frac{\partial u_E}{\partial z} \quad \text{e} \quad \tau_0^{(y)} = \rho A_V \frac{\partial v_E}{\partial z} \quad \text{em } z = 0 \quad (9)$$

$$\begin{aligned} u &\rightarrow \bar{u} & \text{e} & & v &\rightarrow \bar{v} \\ & \text{ou} & & & & \\ u_E &\rightarrow 0 & \text{e} & & v_E &\rightarrow 0 \end{aligned} \quad \text{com } z \rightarrow -\infty \quad (10)$$

(6)

O sistema (6)-(7) é matematicamente resolvido se assumindo uma velocidade complexa  $\mathcal{E} = u + iv$ , onde  $i = \sqrt{-1}$  ou eliminando  $v_E$  ou  $u_E$  do sistema para encontrar

$$\frac{\partial^4 u_E}{\partial z^4} + \frac{f^2}{A_v^2} u_E = 0 \quad (11)$$

A solução geral de (11) é dada por:

$$u_E(z) = \sum_{n=1}^4 C_n e^{\lambda_n z} \quad (12)$$

onde  $\lambda$  satisfaz a eq. característica

$$\lambda^4 + \frac{f^2}{A_v^2} = 0 \quad (13)$$

cujas soluções são:

$$\lambda = \pm (1 \pm i) h_E^{-1}, \quad h_E = \sqrt{\frac{2A_v}{|f|}} \quad (14)$$

Quando (14) em (12) com uso da cond (10), que impede soluções exponencialmente crescentes, obtemos

$$C_3 = C_4 = 0$$

$$u_E = C_1 e^{(1+i)\frac{z}{h_E}} + C_2 e^{(1-i)\frac{z}{h_E}} \quad (14)$$

Com uso de (6),

$$v_E = i C_1 e^{(1+i)\frac{z}{h_E}} - i C_2 e^{(1-i)\frac{z}{h_E}} \quad (15)$$



(7)

Finalmente, com a cond. (9) em (14)-(15) determinamos  $C_1$  e  $C_2$  para obter:

$$u_E = \frac{\sqrt{2}}{\rho f h_E} e^{z/h_E} \left[ \tau_0^{(x)} \cos\left(\frac{z}{h_E} - \frac{\pi}{4}\right) - \tau_0^{(y)} \sin\left(\frac{z}{h_E} - \frac{\pi}{4}\right) \right]$$

$$v_E = \frac{\sqrt{2}}{\rho f h_E} e^{z/h_E} \left[ \tau_0^{(x)} \sin\left(\frac{z}{h_E} - \frac{\pi}{4}\right) + \tau_0^{(y)} \cos\left(\frac{z}{h_E} - \frac{\pi}{4}\right) \right]$$

(16)

- Notemos que  $u_E$  e  $v_E$  dependem apenas da TCV. Não dependem do escoamento interior.
- As correntes são inversamente proporcionais à espessura  $h_E$  e pode apresentar altos valores. Quanto menos viscoso ( $\Delta \nu$  pg), mas altas são a velocidade que uma TCV modesta pode gerar.

SLIDE: Espiral de Ekman - web

a corrente de sup está  $45^\circ$  à direita do vento no HN ( $f > 0$ ) e à esq. no HS ( $f < 0$ )

- Podemos calcular o transp. de volume de (por unidade comprimento) na camada de Ekman de sup. por

$$U_E = \int_{-\infty}^0 u_E dz \quad \text{e} \quad V_E = \int_{-\infty}^0 v_E dz \quad (17)$$

- Podemos obter  $U_E$  e  $V_E$  integrando (16) ou simplesmente usando a segunda forma de (6)-(7) para obter:

$$U_E = \frac{1}{\rho f} \tau_0^{(y)} \quad \text{e} \quad V_E = -\frac{1}{\rho f} \tau_0^{(x)} \quad (18)$$

⑧

• Como o vento apresenta variações espaciais, determinemos a divergência do escoamento na camada de Ekman.

• Pela Eq. da continuidade,

$$\int_{-\infty}^0 \left( \frac{\partial u_E}{\partial x} + \frac{\partial v_E}{\partial y} \right) dz = - \int_{-\infty}^0 \frac{\partial w}{\partial z} dz$$

$$w_E(-\infty) - w(0) = \frac{\partial v_E}{\partial x} + \frac{\partial v_E}{\partial y}$$

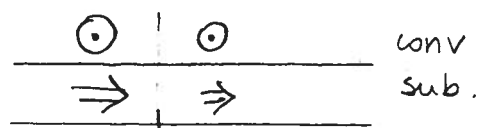
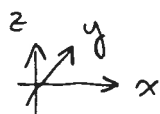
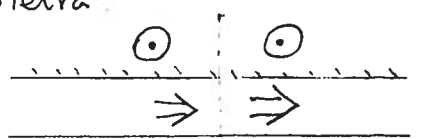
$$w_E = \frac{1}{\rho f} \left( \frac{\partial \tau_0^{(y)}}{\partial x} - \frac{\partial \tau_0^{(x)}}{\partial y} \right)$$

Bombeamento  
de Ekman

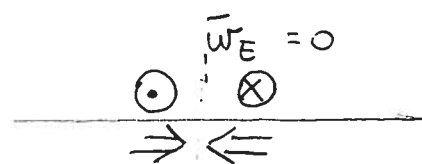
$$\bar{w}_E = \frac{\vec{\tau} \cdot \nabla \times \vec{\tau}_0}{\rho f} \quad (19)$$

Ir à lousa e representar situações de conv, div e costeira.

No HS

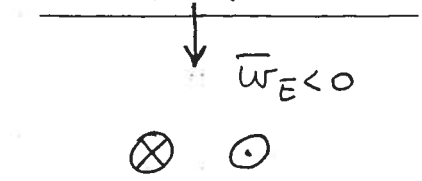


conv  
sub.

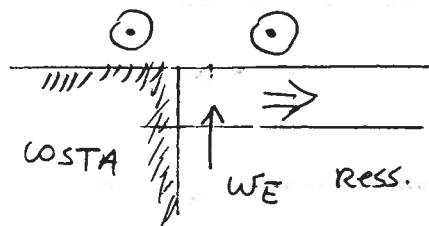


$\bar{w}_E = 0$

$w_E < 0$

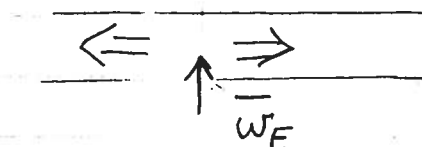


conv.  
subs.



COSTA

$w_E$  ress. costeira



div.  
ress.

(9)

### 3.3. A Camada de Ekman de fundo

- Consideremos agora o estabelecimento da camada de Ekman de fundo.
- Juntos a mesma hipótese do oceano barotrópico no plano  $f$  anterior. A corrente geostófica é uniforme verticalmente e está associada a gradientes de pressão pela equação:

$$-f\bar{v} = -\frac{1}{\rho} \frac{\partial \bar{p}}{\partial x} \quad ; \quad f\bar{u} = -\frac{1}{\rho} \frac{\partial \bar{p}}{\partial y} \quad (20)$$

- O sistema de equações para as correntes de Ekman é o mesmo da cam. de sup. : as Eqs. (6) e (7)
- As condições de contorno são : (avisar que o eixo foi trasladado p/o fundo)

$$\Rightarrow \begin{matrix} u = 0 & e & v = 0 \\ u_E = -\bar{u} & e & v_E = -\bar{v} \end{matrix} \quad \text{em } z = 0 \quad (21)$$

$$\begin{matrix} u \rightarrow \bar{u} & e & v \rightarrow \bar{v} \\ u_E, v_E \rightarrow 0 \end{matrix} \quad \text{à medida que } z \rightarrow \infty$$

SLIDE : Cenário camada de Ekman de fundo

- Matematicamente, o sistema é resolvido de forma idêntica à cam. de superfície.

(10)

A solução obtida é:

$$u = \bar{u} \left( 1 - e^{-z/h_E} \cos \frac{z}{h_E} \right) - \bar{v} e^{-z/h_E} \sin \frac{z}{h_E} \quad (22)$$

$$v = \bar{u} e^{-z/h_E} \sin \frac{z}{h_E} + \bar{v} \left( 1 - e^{-z/h_E} \cos \frac{z}{h_E} \right)$$

SLIDE: Pedlosky  $\rightarrow \vec{v} = \bar{u} \vec{v}$

- O transporte devido as correntes de altura de fundo são

$$\bar{v}_E = \int_0^\infty u_E dz = -\frac{h_E}{2} (\bar{u} + \bar{v})$$

$$\bar{v}_E = \int_0^\infty v_E dz = \frac{h_E}{2} (\bar{u} - \bar{v})$$

- A expressão para o bombeamento de Ekman de fundo é obtido através da integração vertical da eq. da continuidade

$$\bar{\omega}_E = - \int_0^\infty \left( \frac{\partial u_E}{\partial x} + \frac{\partial v_E}{\partial y} \right) dz = \frac{\partial \bar{v}_E}{\partial x} + \frac{\partial \bar{v}_E}{\partial y}$$

$$\bar{\omega}_E = \frac{h_E}{2} \underbrace{\left( \frac{\partial \bar{v}}{\partial x} - \frac{\partial \bar{u}}{\partial y} \right)}_{\bar{\zeta}} \quad (23)$$

- Usando as rel. geostóficas (20), obtemos

$$\bar{\omega}_E = \frac{h_E}{2} \frac{\nabla^2 \bar{p}}{\rho f} \quad (24)$$

- $\rightarrow$  quanto maior a vorticidade do escoamento geostófico, maior é o bombeamento de Ekman.

SLIDE p/ HN

### 3.4. A Camada de Ekman em Escamentos Geofísicos

#### Reais

- Os modelos apresentados são bastante idealizados, e principalmente em detalhes, não reproduzem as observações.

- Enquanto os resultados do transp. de Ekman têm se mostrado robustos, observações da espiral são raras e tentativas.

- Começamos exibindo um resultado de aparente sucesso na observação da espiral

SLIDE: Huskins (1966) - correntes observadas no Ártico abaixo de uma banquisa - lat:  $84,3^{\circ}\text{N}$ .

- Mas, na maioria dos escoamentos dois são os fatores que podem causar diferenças substanciais entre Teoria e observações: Turbulência e estratificação.

#### TURBULÊNCIA

- Escoamentos geofísicos são turbulentos. A parametrização com os coef. turbulentos  $A_v$  substituindo os muito menores e "laminar" coef. de viscosidade molecular  $\nu$  é uma 1ª tentativa de reconhecer o efeito maior de transferência de momento num escoamento turbulento.

(12)

• Entretanto, na camada de Ekman, a Turbulência não é homogênea, sendo mais vigorosa onde o cisalhamento é maior, e por outro lado, sendo parcialmente suprimida nas vizinhanças do limite superior do oceano, onde os vórtices turbulentos têm de apresentar estruturas de tamanho.

• Uma número quantidade de modelos têm sido propostas para explicar as frequentes discordâncias entre Teoria e observação.

• As discordâncias estão centradas em dois resultados da Teoria clássica:

1) o ângulo entre a TCV e a corrente de deriva em superfície é sistematicamente bem menor que os  $45^\circ$  da Teoria clássica. Varia tipicamente entre entre  $5^\circ$  e  $20^\circ$ .

• Madsen (1977) abordou a questão da variação vertical de  $A_v$  e resolveu o problema de Ekman assumindo uma variação linear de  $A_v$ . O resultado mostra uma espiral com decaimento abrupto e um ângulo de  $10^\circ$ .

SLIDE: Resultados da espiral de Madsen (1977)

2) a espessura da camada de Ekman, que usualmente é avaliada por

$$h_E = \gamma \frac{u_*}{f}, \quad \gamma = 0,4 \quad (\text{Garraff, 1992}) \quad (25)$$

onde  $u_*$ , a velocidade friccional é dada por

$$u_* = \sqrt{\frac{|\vec{\tau}_0|}{\rho}}$$

- A expressão (25) advém da suposição que

$$A_v \sim u_* d \quad (26) \quad \text{onde } d \text{ é o diâmetro do maior vórtice turbulento}$$

- Em considerando  $d \sim h_E$ ,

$$h_E \sim \sqrt{\frac{A_v}{f}}$$

$$h_E^2 \sim \frac{A_v}{f} \sim \frac{u_* h_E}{f} \sim \frac{u_*}{f} \times \underbrace{\gamma}_{\text{fator empírico}}$$

### ESTRATIFICAÇÃO

- A presença da estratificação inibe movimentos verticais e portanto, reduz o misturamento vertical por turbulência.

- Também permite que os movimentos em níveis diferentes apresentem menos coerência vertical. Como consequência, haverá redução da espessura da camada de Ekman e tenderá a aumentar o giro do vetor velocidade com a profundidade.

## RESUMO : Teoria de Ekman

→ use escalas de meso-escala ( $A_H = 10^3 \text{ m}^2 \text{ s}^{-1}$ ,  $A_V = 10^{-2} \text{ m}^2 \text{ s}^{-1}$ )

→ balanço dominante :  $-f v = -\frac{1}{\rho} \frac{\partial p}{\partial x} + O(R_0, E_H, E_V)$  (1)

$$f u = -\frac{1}{\rho} \frac{\partial p}{\partial y} + O(R_0, E_H, E_V) \quad (2)$$

→  $E_V = \frac{A_V}{H^2 f} = 10^{-4}$  p/  $H = 10^3 \text{ m}$ . → fluido invisível

→ Ludwig Prandtl : Teoria camada-limite. No caso dos FG,

- regime interior - longe dos contornos físicos
- camada-limite - próximo aos contornos - atrito leva vel a zero junto ao contorno

→ P/ que o atrito seja importante,  $E_V = O(1) \Rightarrow H_E = O\left(\sqrt{\frac{A_V}{|f|}}\right)$

→ camadas-limite em fluidos SEM atmosfera ambiente não apresentam

"prescrições de espessura e crescem na direção do escoamento e com o tempo.  
(se  $f \rightarrow 0$ ,  $H_E \rightarrow \infty$ )

• Com  $H = H_E$ ,

$$-f v = -\frac{1}{\rho} \frac{\partial p}{\partial x} + A_V \frac{\partial^2 u}{\partial z^2} \quad (3)$$

$$f u = -\frac{1}{\rho} \frac{\partial p}{\partial y} + A_V \frac{\partial^2 v}{\partial z^2} \quad (4)$$

• Como (3)-(4) é linear,  $u = \bar{u} + u_E$   
 $v = \bar{v} + v_E$  (5)



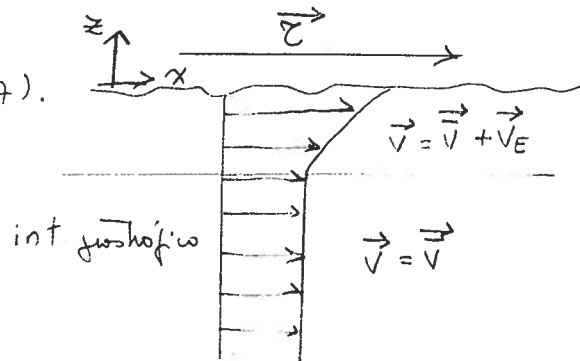
As eqs para os com. de atito são:

$$-f v_E = A_V \frac{\partial^2 u_E}{\partial z^2} = \frac{1}{\rho} \frac{\partial \tau^{(x)}}{\partial z} \quad (6)$$

$$f u_E = A_V \frac{\partial^2 v_E}{\partial z^2} = \frac{1}{\rho} \frac{\partial \tau^{(y)}}{\partial z} \quad (7)$$

### A Camada de Ekman de Superfície

- Solução de Vagn Valfrid Ekman em 1902 - motivação de Fridtjof Nansen c/ icebergs derivando à direita do vento soprando
- Ekman, aluno de Vilhelm Bjerknes - formulou teoria da camada limite sob regime de rotacão ambiente
- Aproximações: oceano de  $\rho = \text{const}$  no plano f  
vento sopra estacionariamente -  $\vec{\tau}_0 = \tau_0^{(x)} \hat{x} + \tau_0^{(y)} \hat{y}$
- O sistema de equações é (6)-(7).



- Condições de contorno:  $\tau_0^{(x)} = \rho A_V \frac{\partial u_E}{\partial z}$ ,  $\tau_0^{(y)} = \rho A_V \frac{\partial v_E}{\partial z}$  em  $z=0$  (9)
- $u \rightarrow \bar{u}$ ,  $v \rightarrow \bar{v}$  com  $z \rightarrow -\infty$  (10)

• Eliminando  $v_E$  de (6)-(7):  $\frac{\partial^4 u_E}{\partial z^4} + \frac{f^2}{A_V^2} u_E = 0$  (11)

Solução geral:  $u_E = \sum_{n=1}^4 c_n e^{\lambda_n z}$  (12)

•  $\lambda$  satisfaz:  $\lambda^4 + \frac{f^2}{A_v^2} = 0$  cuja solução é:  $\lambda = \pm \frac{(1 \pm i)}{h_E}$  (13)

onde  $h_E = \sqrt{\frac{2A_v}{|f|}}$ .

- Com (13) em (12) e uso de (10):  $C_3 = C_4 = 0$   
(leva à soluções crescentes)

$$u_E = C_1 e^{\frac{(1+i)z}{h_E}} + C_2 e^{\frac{(1-i)z}{h_E}} \quad (14)$$

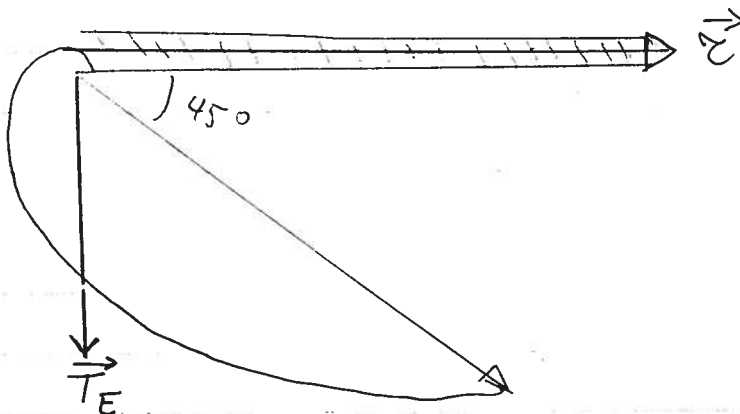
$$v_E = i C_1 e^{\frac{(1+i)z}{h_E}} - i C_2 e^{\frac{(1-i)z}{h_E}} \quad (15)$$

- Com (9) em (14)-(15):

$$u_E = \frac{\sqrt{2}}{\rho f h_E} e^{z/h_E} \left[ \zeta_0^{(x)} \cos\left(\frac{z}{h_E} - \frac{\pi}{4}\right) - \zeta_0^{(y)} \sin\left(\frac{z}{h_E} - \frac{\pi}{4}\right) \right] \quad (16)$$

$$v_E = \frac{\sqrt{2}}{\rho f h_E} e^{z/h_E} \left[ \zeta_0^{(x)} \sin\left(\frac{z}{h_E} - \frac{\pi}{4}\right) + \zeta_0^{(y)} \cos\left(\frac{z}{h_E} - \frac{\pi}{4}\right) \right]$$

→ solução em eixo real esvanecendo



- Transporte de Ekman - use 2ª forma de (6)-(7).

$$U_E = \int_{-\infty}^0 u_E dz \quad \text{e} \quad V_E = \int_{-\infty}^0 v_E dz \quad (17)$$

$$= \frac{1}{\rho f} \tau_0^{(y)} \quad = -\frac{1}{\rho f} \tau_0^{(x)} \quad (18)$$

- Se o vento sofrer variações espaciais  $\vec{\tau}_0 = \vec{\tau}_0(x, y)$ , há div-conv na cam de Ekman.

$$\int_{-\infty}^0 \left( \frac{\partial u_E}{\partial x} + \frac{\partial v_E}{\partial y} \right) dz = - \int_{-\infty}^0 \frac{\partial w_E}{\partial z} dz$$

$$w_E(-\infty) - \overset{0}{w_E(0)} = \frac{\partial}{\partial x} U_E + \frac{\partial}{\partial y} V_E = \vec{\tau}_0 \cdot \frac{\nabla \times \vec{\tau}_0}{\rho f} \quad (19)$$

→ apresentem casos de  $w_E$ , discutir res. costeira e equatorial

### A Camada de Ekman de Fundo

- $\rho = \text{const}$  → a corrente geostrofica é uniforme verticalmente e é dada por

$$-f\bar{v} = -\frac{1}{\rho} \frac{\partial \bar{p}}{\partial x}, \quad f\bar{u} = -\frac{1}{\rho} \frac{\partial \bar{p}}{\partial y} \quad (20)$$

- O sistema de eq. é ainda (6)-(7). Migramos o eixo vertical p/o fundo. Cond de contorno são:

$$u=0, v=0 \quad \text{em } z=0 \quad (21)$$

$$\begin{cases} u \rightarrow \bar{u}, v \rightarrow \bar{v} & \text{com } z \rightarrow \infty \\ u_E, v_E \rightarrow 0 \end{cases} \quad (22)$$

• Solução analógica à superfície.

$$u = \bar{u} \left( 1 - e^{-z/h_E} \cos \frac{z}{h_E} \right) - \bar{v} e^{-z/h_E} \sin \frac{z}{h_E} \quad (22)$$

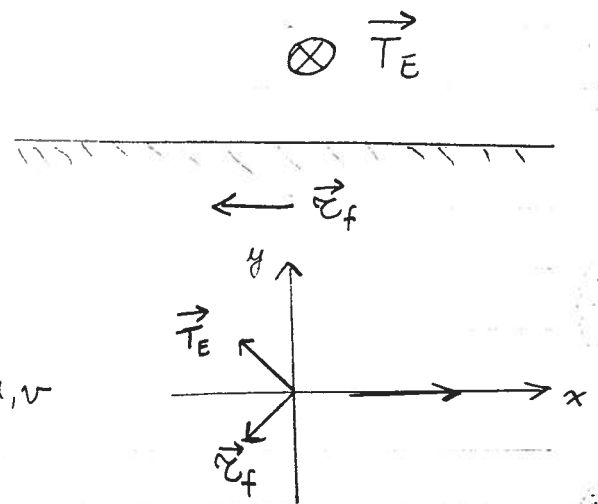
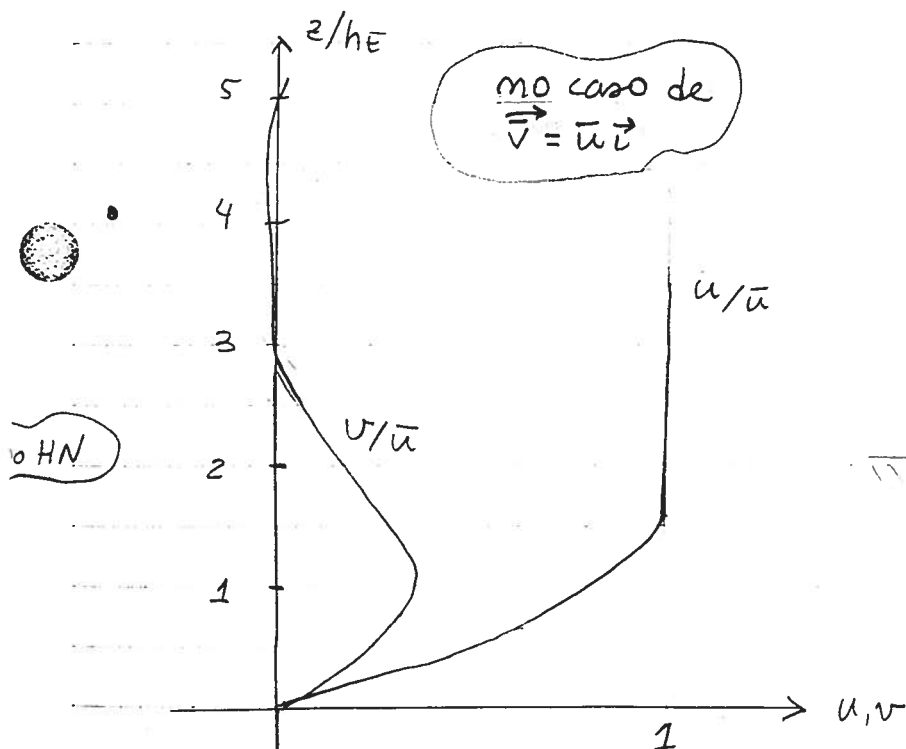
$$v = \bar{u} e^{-z/h_E} \sin \frac{z}{h_E} + \bar{v} \left( 1 - e^{-z/h_E} \cos \frac{z}{h_E} \right)$$

• O transporte de Ekman de fundo:  $\bar{v}_E = \int_0^\infty u_E dz = \frac{-h_E}{2} (\bar{u} + \bar{v})$

$$\bar{v}_E = \int_0^\infty v_E dz = \frac{h_E}{2} (\bar{u} - \bar{v}) \quad (23)$$

• O bombeamento de Ekman de fundo:

$$\omega_E(\infty) = - \int_0^\infty \left( \frac{\partial u_E}{\partial x} + \frac{\partial v_E}{\partial y} \right) dz = \frac{h_E}{2} \underbrace{\left( \frac{\partial \bar{v}}{\partial x} - \frac{\partial \bar{u}}{\partial y} \right)}_{\bar{\zeta} = \frac{\nabla^2 \bar{p}}{\rho f}} \quad (24)$$



## A Camada de Ekman em Escoamentos Geofísicos Reais

- Modelo de Ekman  $\rightarrow$  muito idealizado
- Acordo entre teoria e observações são raros: Huskins (1966) - correntes observadas no Ártico abaixo de banquisa - lat  $84,3^\circ N$
- Dois fatores podem causar diferenças substanciais: Turbulência e estratificação

**TURBULÊNCIA** - • substituição de  $\nu$  por  $A_V$  e' a 1ª tentativa de reconhecer  $\rightarrow$  transf. de momento num escoamento turbulento

- Turbulência n' é homogênea: + vigorosa onde o cisalhamento é maior, mas suprimida pelo limite superior dos oceanos

2 discordâncias são mais frequentes entre teoria e observações:

i) o ângulo entre  $\vec{\zeta}_0$  e a corrente de deriva de sup.  $\Rightarrow$  teoria clássica:  $45^\circ$ ; observada: tipicamente  $5^\circ - 20^\circ$ .

$\rightarrow$  citar Madsen (1977), assumir  $A_V$  linear  $\rightarrow$  espinal abrupta, ângulo de  $10^\circ$

ii) espessura da camada de Ekman:  $h_E = \gamma \frac{u_*}{f}$ ,  $\gamma = 0,4$  (Garraff, 1992)

$$u_* = \sqrt{\frac{|\vec{\zeta}_0|}{\rho}}$$

**ESTRATIFICAÇÃO**: • inibe mov. verticais, reduz misturamento vertical

- menor coerência vertical  $\rightarrow$  reduz espessura da camada de Ekman e aumenta giro do vetor velocidade c/ profundidade.